

RED DE CONTROL SÍSMICO DE LA CUENCA DEL RÍO ARAGÓN

Parte de actividad quincenal: 16 al 31 de octubre de 2008

ZONA DEL EMBALSE DE ITOIZ
(PARALELOS 42.7N-43.0N, MERIDIANOS 1.6W-1.1W)

RED SÍSMICA

Desde el parte anterior, no se ha producido ninguna variación en la configuración actual de la red sísmica (Figura 1).

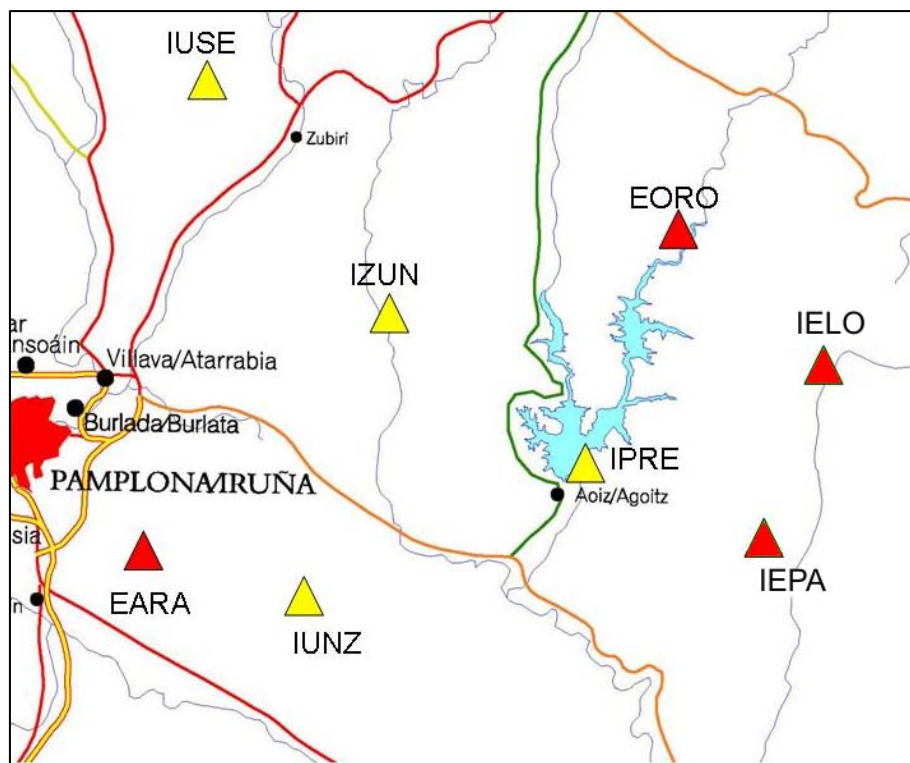


Figura 1.- Estaciones sísmicas próximas a la Presa de Itoiz. En amarillo figuran las estaciones instaladas por la Confederación Hidrográfica del Ebro. El resto han sido instaladas por el Instituto Geográfico Nacional.

El nivel de operatividad del conjunto de la red ha sido del 74 % según se muestra en la Figura 2.

| | 16 | 17 | 18 | 19 | 20 | 21 | 22 | 23 | 24 | 25 | 26 | 27 | 28 | 29 | 30 | 31 |
|-------------|----|----|----|----|----|----|----|----|----|----|----|----|----|----|----|----|
| EARA | | | | | | | | | | | | | | | | |
| IUSE | | | | | | | | | | | | | | | | |
| IZUN | | | | | | | | | | | | | | | | |
| IUNZ | | | | | | | | | | | | | | | | |
| IPRE | | | | | | | | | | | | | | | | |
| EORO | | | | | | | | | | | | | | | | |
| IELO | | | | | | | | | | | | | | | | |
| IEPA | | | | | | | | | | | | | | | | |

Figura 2.- Operatividad de las estaciones. Se señala en color rojo el periodo de tiempo en el que se interrumpe la secuencia de datos, por problemas en la instrumentación o en la transmisión.

ACTIVIDAD SÍSMICA DEL PERIODO QUINCENAL 16 AL 31 DE OCTUBRE DE 2008

En este periodo se han localizado en la zona próxima al embalse 31 terremotos entre las magnitudes de 0,7 y 2,3:

| <u>Fecha</u> | <u>Hora (TU)</u> | <u>Lat.</u> | <u>Lon.</u> | <u>Mag</u> | <u>Localización</u> |
|--------------|------------------|-------------|-------------|------------|---------------------|
| 16-oct | 00:07:51 | 42.83 | -1.33 | 1.0 | SE NAGORE.NA |
| 16-oct | 03:44:28 | 42.88 | -1.45 | 0.8 | SE ZUBIRI.NA |
| 16-oct | 07:47:15 | 42.84 | -1.45 | 1.1 | NE LIZOÁIN.NA |
| 18-oct | 02:11:38 | 42.85 | -1.44 | 0.9 | W NAGORE.NA |
| 18-oct | 05:08:53 | 42.85 | -1.44 | 1.0 | W NAGORE.NA |
| 18-oct | 06:36:30 | 42.83 | -1.45 | 1.4 | NE LIZOÁIN.NA |
| 19-oct | 01:12:00 | 42.82 | -1.44 | 1.6 | NE LIZOÁIN.NA |
| 19-oct | 11:52:21 | 42.83 | -1.45 | 0.7 | NE LIZOÁIN.NA |
| 19-oct | 21:49:29 | 42.82 | -1.28 | 1.1 | NW SANTA FE.NA |
| 20-oct | 02:06:50 | 42.85 | -1.46 | 0.9 | N LIZOÁIN.NA |
| 21-oct | 08:31:39 | 42.84 | -1.45 | 0.9 | NE LIZOÁIN.NA |
| 21-oct | 09:32:19 | 42.83 | -1.43 | 1.1 | W NAGORE.NA |
| 21-oct | 21:40:22 | 42.85 | -1.44 | 0.9 | W NAGORE.NA |
| 22-oct | 17:51:00 | 42.80 | -1.37 | 1.7 | NW AOIZ/AGOITZ.NA |
| 23-oct | 16:29:04 | 42.84 | -1.42 | 1.1 | W NAGORE.NA |
| 24-oct | 05:08:22 | 42.80 | -1.35 | 0.8 | NE AOIZ/AGOITZ.NA |
| 25-oct | 02:27:41 | 42.84 | -1.15 | 1.1 | W E. DE SALAZAR.NA |
| 25-oct | 03:41:54 | 42.84 | -1.18 | 1.4 | SW JAURRIETA.NA |
| 25-oct | 18:42:18 | 42.85 | -1.34 | 1.2 | E NAGORE.NA |
| 26-oct | 05:55:20 | 42.83 | -1.30 | 1.1 | E NAGORE.NA |
| 26-oct | 06:31:34 | 42.85 | -1.43 | 0.8 | W NAGORE.NA |
| 26-oct | 08:17:27 | 42.84 | -1.18 | 1.0 | SW JAURRIETA.NA |
| 26-oct | 13:36:34 | 42.85 | -1.35 | 0.8 | NE NAGORE.NA |
| 26-oct | 15:20:05 | 42.87 | -1.30 | 0.9 | S OROZ-BETELU.NA |
| 26-oct | 16:39:44 | 42.84 | -1.31 | 0.7 | E NAGORE.NA |

| Fecha | Hora (TU) | Lat. | Lon. | Mag | Localización |
|--------------|------------------|-------------|-------------|------------|---------------------|
| 27-oct | 03:45:10 | 42.84 | -1.44 | 0.9 | NE LIZOÁIN.NA |
| 28-oct | 18:30:23 | 42.82 | -1.10 | 2.3 | S SARRIÉS/SARTZE.NA |
| 28-oct | 21:40:17 | 42.81 | -1.40 | 1.6 | SW NAGORE.NA |
| 28-oct | 21:44:40 | 42.82 | -1.40 | 1.4 | SW NAGORE.NA |
| 30-oct | 00:18:03 | 42.84 | -1.44 | 0.8 | NE LIZOÁIN.NA |
| 30-oct | 05:20:13 | 42.82 | -1.12 | 1.5 | W SARRIÉS/SARTZE.NA |

En la Figura 3 se muestra su distribución epicentral.

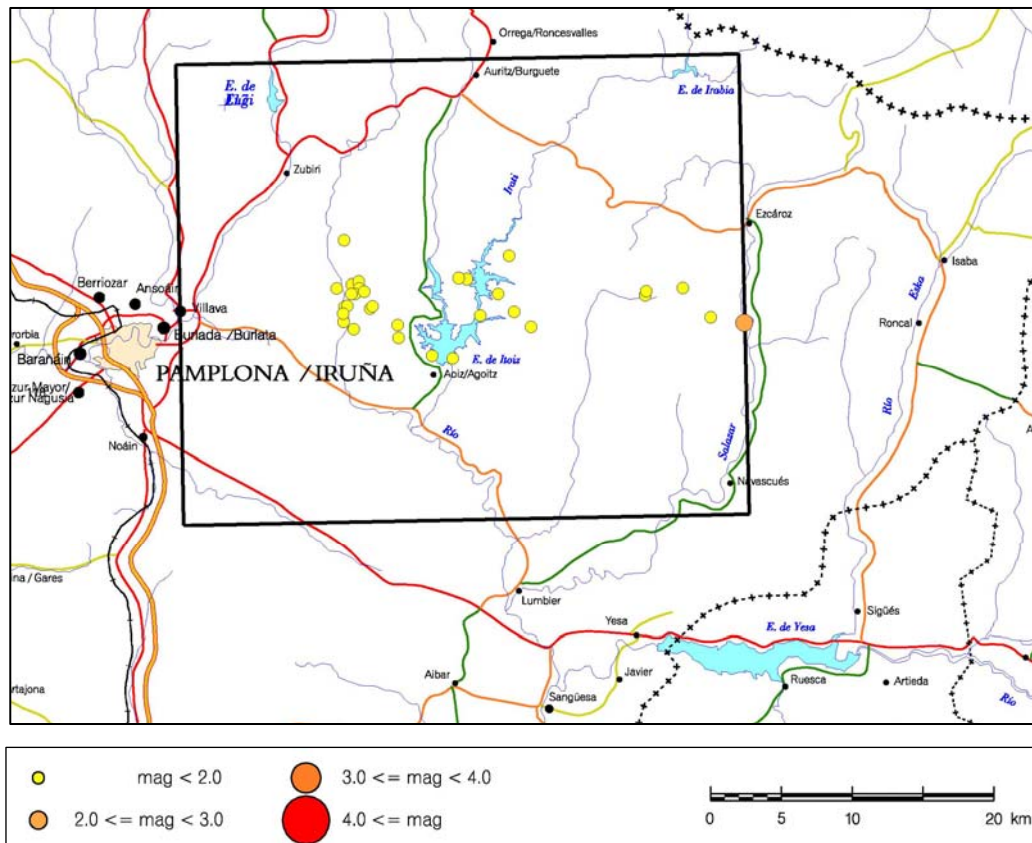


Figura 3.- Terremotos localizados en el periodo del 16 al 31 de octubre de 2008 en la zona limitada por los paralelos 42,7N-43,0N y los meridianos 1,6W-1,1W.

En la Figura 4 se muestra la distribución temporal de estos terremotos.

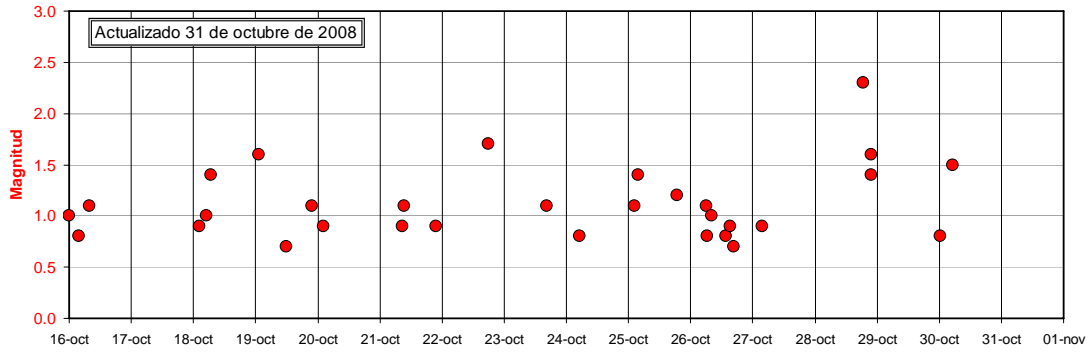
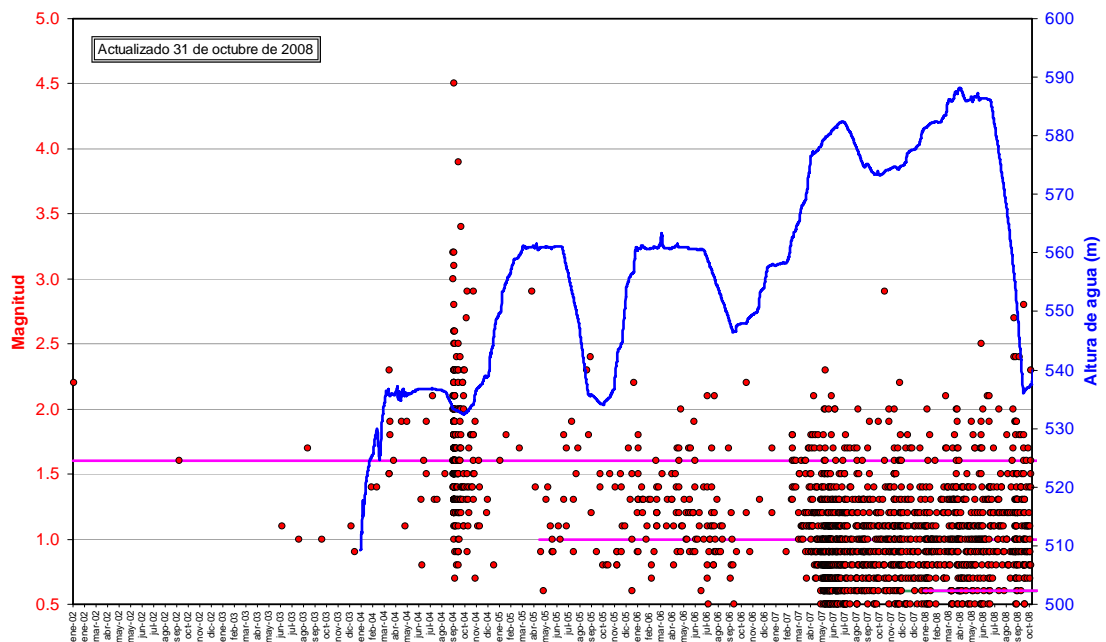


Figura 4.- Distribución temporal de los terremotos localizados en el periodo del 16 al 31 de octubre de 2008 en la zona limitada por los paralelos 42,7N-43,0N y los meridianos 1,6W-1,1W.

En la Figura 5 se muestran sendos gráficos actualizados de la distribución temporal de la actividad sísmica junto con la curva de llenado del embalse.



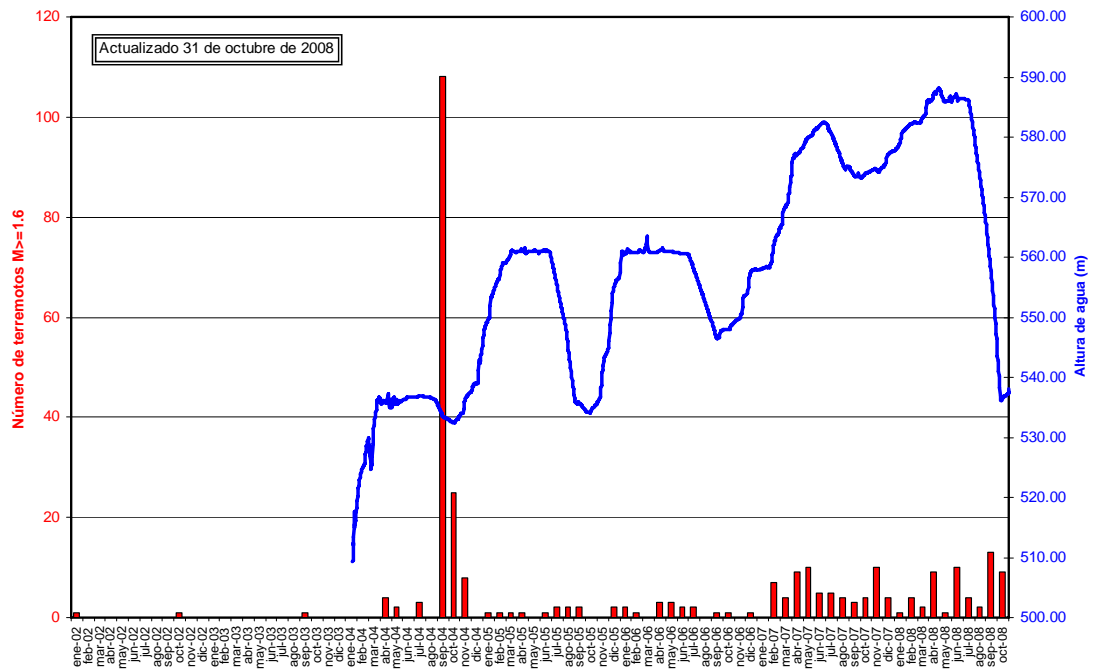


Figura 5.- Distribución temporal de los terremotos localizados en el periodo desde el 1 de enero de 2002 al 31 de octubre de 2008 en la zona limitada por los paralelos 42,7N-43,0N y los meridianos 1,6W-1,1W, junto con la curva de llenado..